



Imagen: Silvana Ricci. Julio 2018. Mes aniversario 114°

## Boletín mensual del Observatorio Magnético de Pilar JULIO 2018

### EL OBSERVATORIO

En el Observatorio Geofísico y Meteorológico de Pilar confluyen diferentes disciplinas, Meteorología, Radiación, Ozono, Sismología y Geomagnetismo. Esta última dentro del Observatorio Magnético Pilar. El Observatorio Magnético Pilar comenzó a operar en 1904 y sus registros datan desde entonces. Cuenta con instrumental el cual posee una configuración clásica acorde a la mayoría de los observatorios magnéticos. En noviembre de 2010, el Observatorio se actualizó con la instalación del Sistema INDIGO (Digital Geomagnetic Observatory) para dar inicio a registros digitales. Luego de pruebas y de ajustes del sistema, en septiembre de 2012, el Observatorio fue aceptado como miembro de INTERMAGNET (Red Magnética Internacional en Tiempo Real).

Autores: María Inés Gil, Silvana Ricci, Jesús González, Silvina Righetti.

Coord. Area Geofísica: Geof. Camila Farías.

[cfarias@smn.gov.ar](mailto:cfarias@smn.gov.ar)

### Información sobre Copyright

Este reporte ha sido producido por empleados del Servicio Meteorológico Nacional con el fin de documentar sus actividades de investigación y desarrollo. El presente trabajo ha tenido cierto nivel de revisión por otros miembros de la institución, pero ninguno de los resultados o juicios expresados aquí presuponen un aval implícito o explícito del Servicio Meteorológico Nacional.

La información aquí presentada puede ser reproducida a condición que la fuente sea adecuadamente citada.

## UBICACIÓN

El Observatorio Magnético se localiza en la ciudad de Pilar, en la Provincia de Córdoba, zona centro de la Argentina. Sus coordenadas corresponden:

- Coordenadas Geográficas: 31°40'00'' S 63°53'00'' W
- Coordenadas Magnéticas: 20°02'00'' S 04°00'00'' W
- Altura sobre el nivel del mar: 338 nmm.

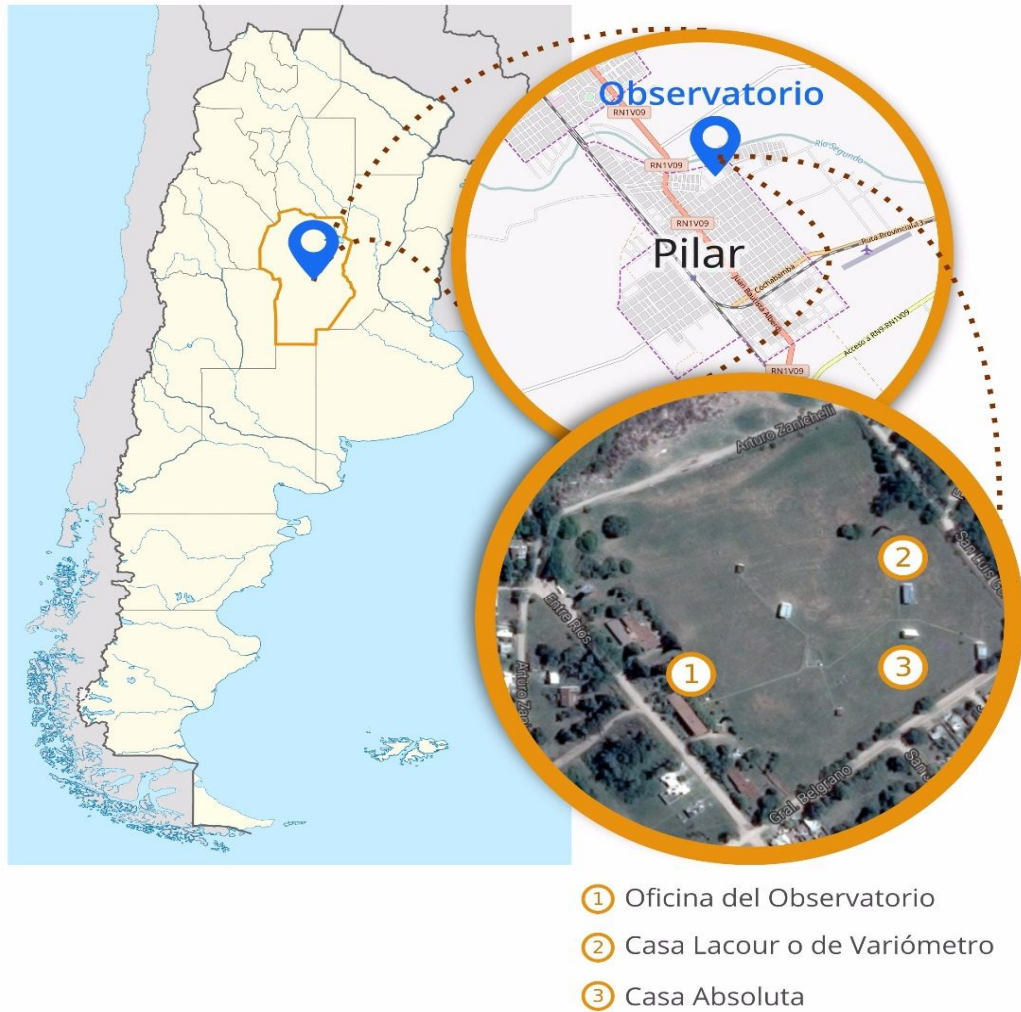


Figura 1: Ubicación del observatorio Pilar

### CONCEPTOS TEÓRICOS

El **campo magnético** terrestre se parece al campo de una larga barra magnética o al de una esfera uniformemente magnetizada.

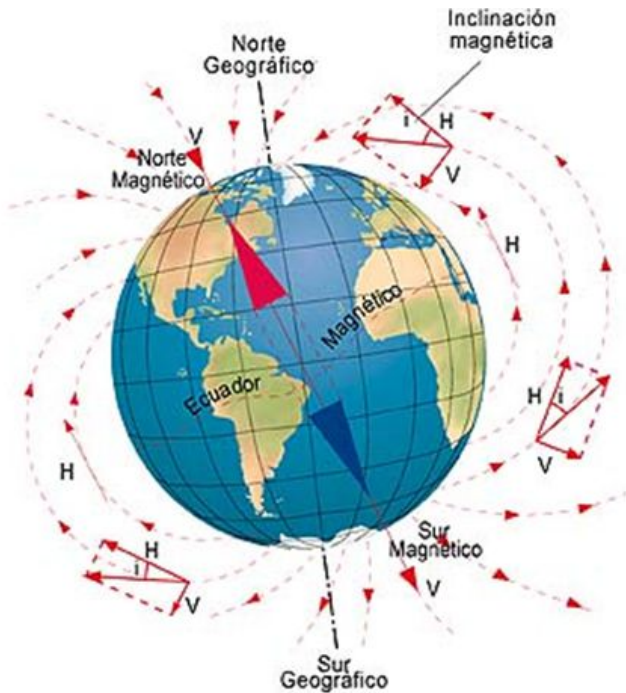


Figura 2: Representación gráfica del campo magnético terrestre

El campo o las líneas de flujo, siguen la trayectoria que muestra la Figura 2. Nótese que la dirección del campo es vertical en los polos magnéticos, y horizontal en el ecuador magnético. El entendimiento de esta geometría es importante para la interpretación de las anomalías magnéticas. La intensidad del campo, es una función de la cantidad de líneas por unidad de área.

La intensidad en la región polar es aproximadamente el **doblo** que en la ecuatorial, oscilando entre los 60.000 y 30.000 gammas o nanoteslas (nT).

Es importante tener en cuenta que el campo Magnético varía tanto en espacio como en tiempo.

### Instrumentos en éste Observatorio.

El Observatorio cuenta con un magnetómetro protónico que registra la intensidad del campo, F, un magnetómetro triaxial fluxgate para registrar la componente horizontal H, vertical Z, y la declinación D, y un teodolito que permite determinar D e I por medio de una observación. En la Figura 3 se presenta un esquema de las componentes del campo magnético enunciadas en este apartado.

#### Componentes Magnéticas

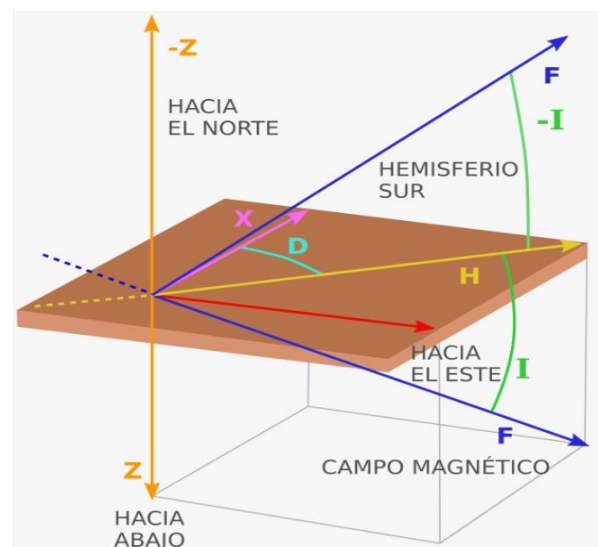


Figura 3: Componentes del campo magnético

## DESCRIPCIÓN SISTEMA INDIGO

Este sistema proporciona el hardware y el software para operar un Observatorio Magnético Digital básico.

El hardware consiste en un magnetómetro triaxial fluxgate, un magnetómetro protónico, un Digitizador, un receptor GPS para proporcionar un tiempo exacto, un registrador de memoria USB y una fuente de alimentación DC alimentada por batería. El software, INDIGO WATCH captura los datos del magnetómetro digitalizado, registra en el disco y realiza el análisis de datos básicos.

## OBSERVATORIO MAGNÉTICO OPERATIVO

El Observatorio opera con Geomagnetic Data Acquisition System (GDAS), el mismo fue desarrollado por la British Geological Survey (BGS). El INDIGO Watch registra las variaciones de las componentes del campo magnético, pero no los valores absolutos. El operador supervisa estas variaciones.

Las observaciones absolutas conjuntamente con los datos obtenidos por el Sistema Indigo, se procesan en el software (GDAS), y producen un registro continuo de los **valores absolutos del campo magnético**.

## INTERMAGNET

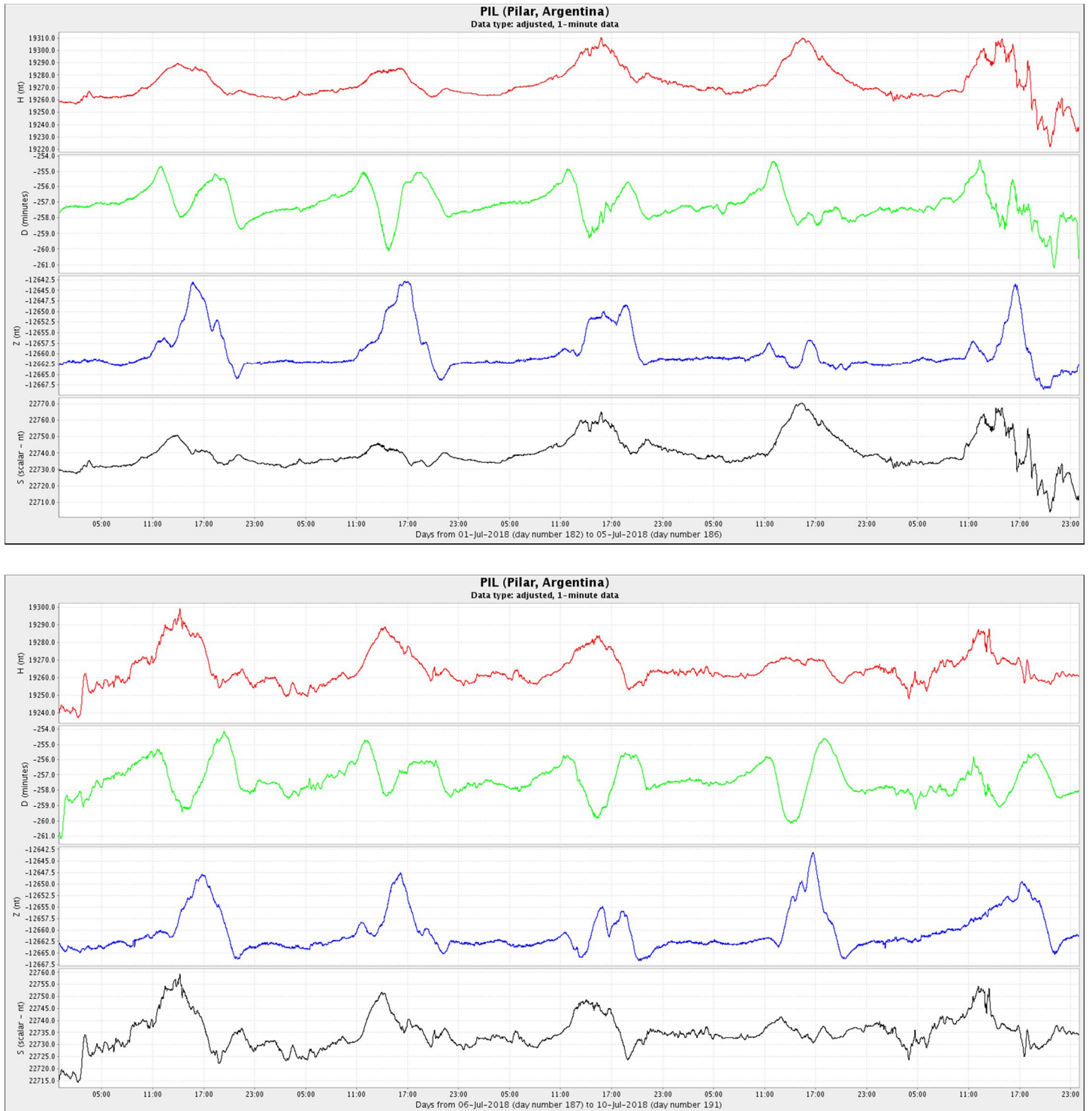
INTERMAGNET es una red mundial de Observatorios Magnéticos que operan casi en tiempo real. El objetivo de INTERMAGNET es establecer una red global de Observatorios Magnéticos digitales que cooperen, adoptando modernas especificaciones estándar para equipos de medición y registro, con el fin de facilitar el intercambio de datos y la elaboración de productos geomagnéticos en tiempo real.

En septiembre de 2012, el Observatorio Magnético Pilar fue aceptado como miembro de INTERMAGNET y las mediciones magnéticas generadas con el Sistema INDIGO en el Observatorio de Pilar, son reportadas diariamente a Edinburgo GIN.

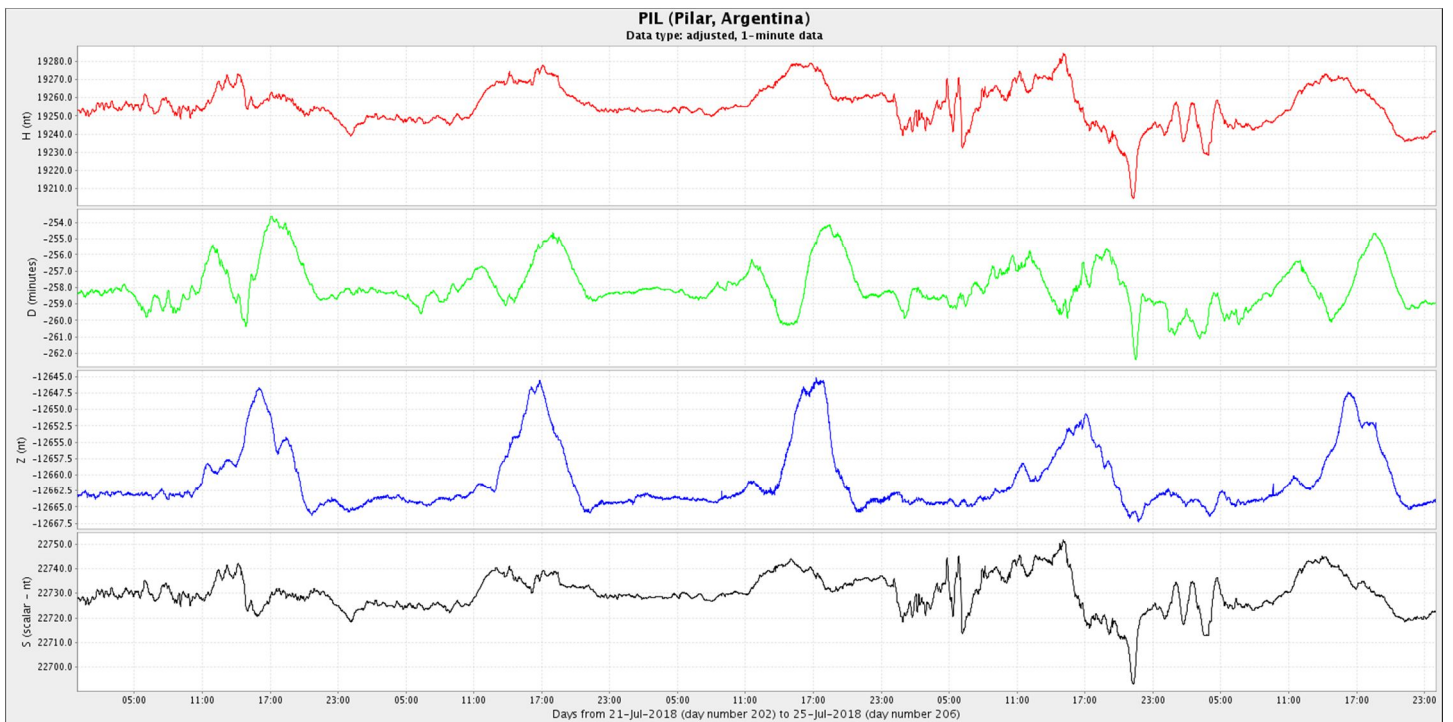
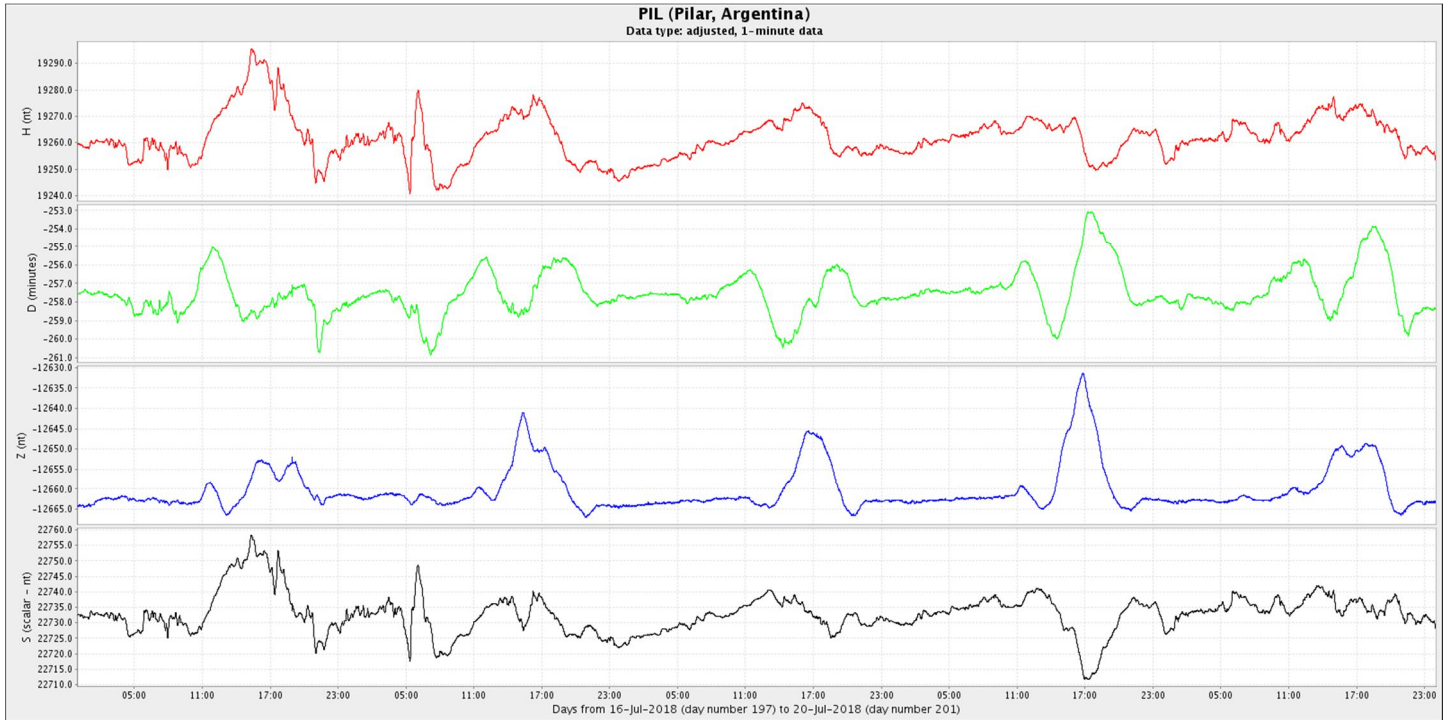
La información se puede visualizar en <http://www.intermagnet.org/data-donnee/dataplot-eng.php>

**RED INTERMAGNET**

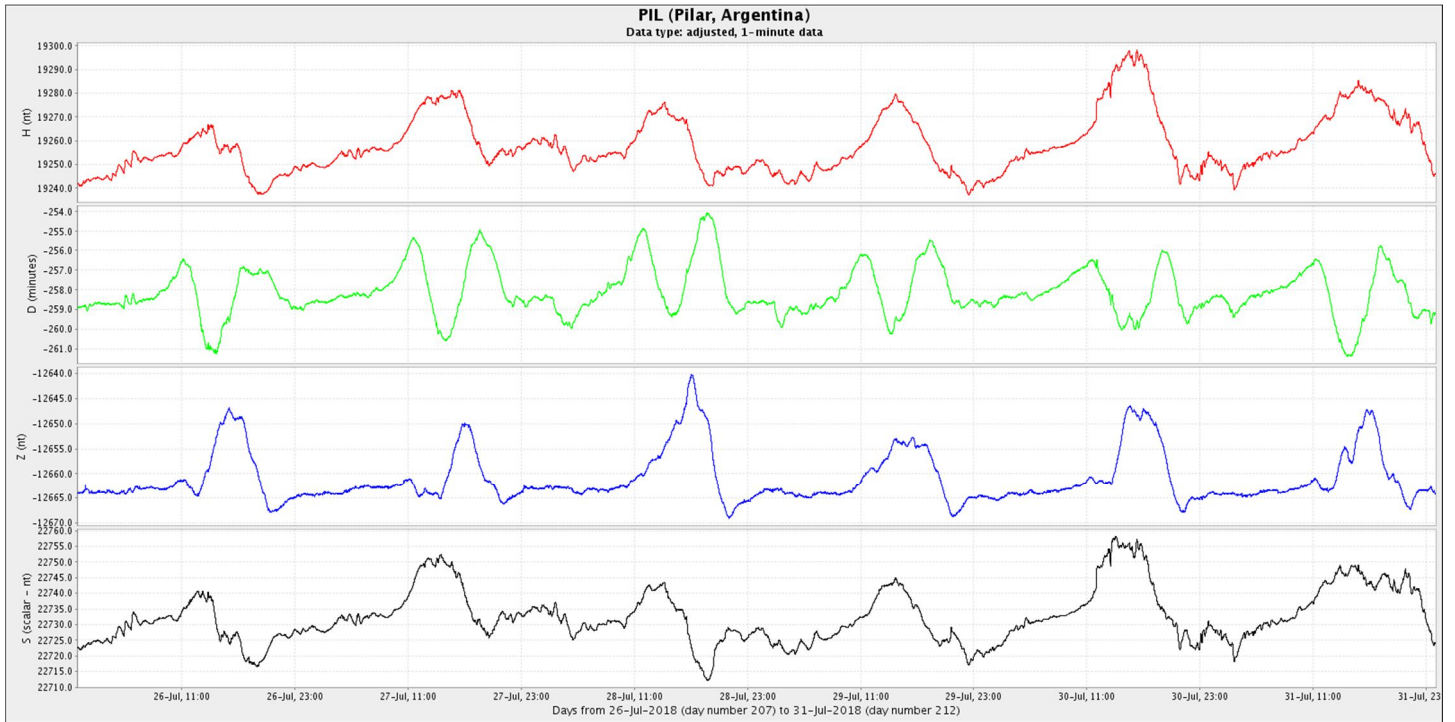
A continuación se presenta la evolución de las componentes del campo magnético para todo el mes de julio presentadas a la red INTERMAGNET.



**Figura 4a:** Componentes del campo magnético del 1 al 10 de julio. En rojo se ve la componente horizontal (H) y en azul la vertical (Z), ambas en nT. En verde se presenta la declinación del campo magnético (D) en minutos y en negro la intensidad del campo magnético en nT



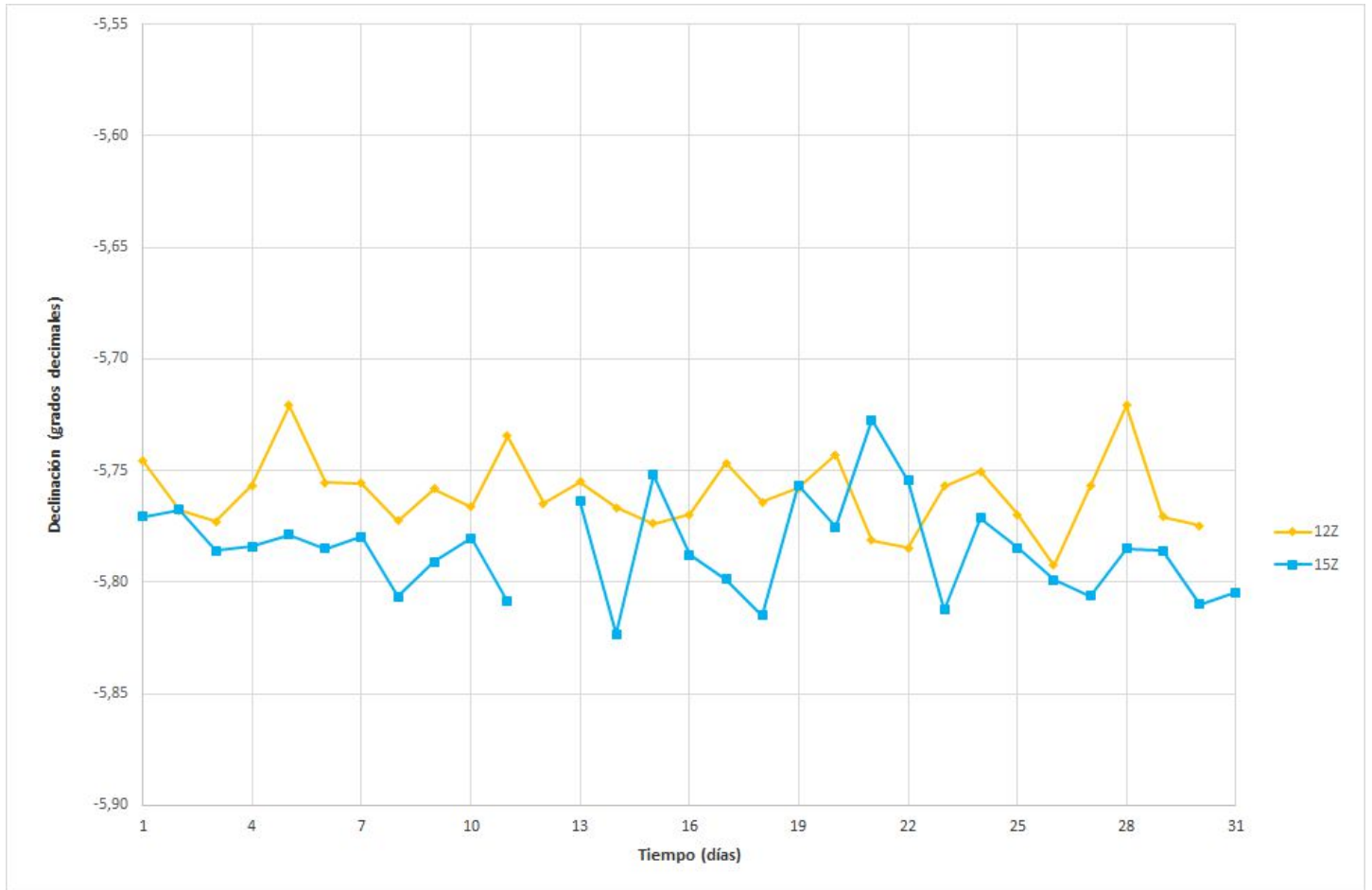
**Figura 4b:** Componentes del campo magnético del 11 al 25 de julio. En rojo se ve la componente horizontal ( $H$ ) y en azul la vertical ( $Z$ ), ambas en nT. En verde se presenta la declinación del campo magnético ( $D$ ) en minutos y en negro la intensidad del campo magnético en nT.



**Figura 4c:** Componentes del campo magnético del 25 al 31 de julio. En rojo se ve la componente horizontal ( $H$ ) y en azul la vertical ( $Z$ ), ambas en nT. En verde se presenta la declinación del campo magnético ( $D$ ) en minutos y en negro la intensidad del campo magnético en nT.

**OBSERVACIONES ABSOLUTAS**

A continuación (Figuras 5, 6 y 7) se presenta la evolución temporal durante todo el mes de julio de la declinación, la inclinación y la intensidad total del campo magnético a partir de las observaciones absolutas realizadas a las 12 y 15 UTC.



**Figura 5:** Declinación magnética en función del tiempo

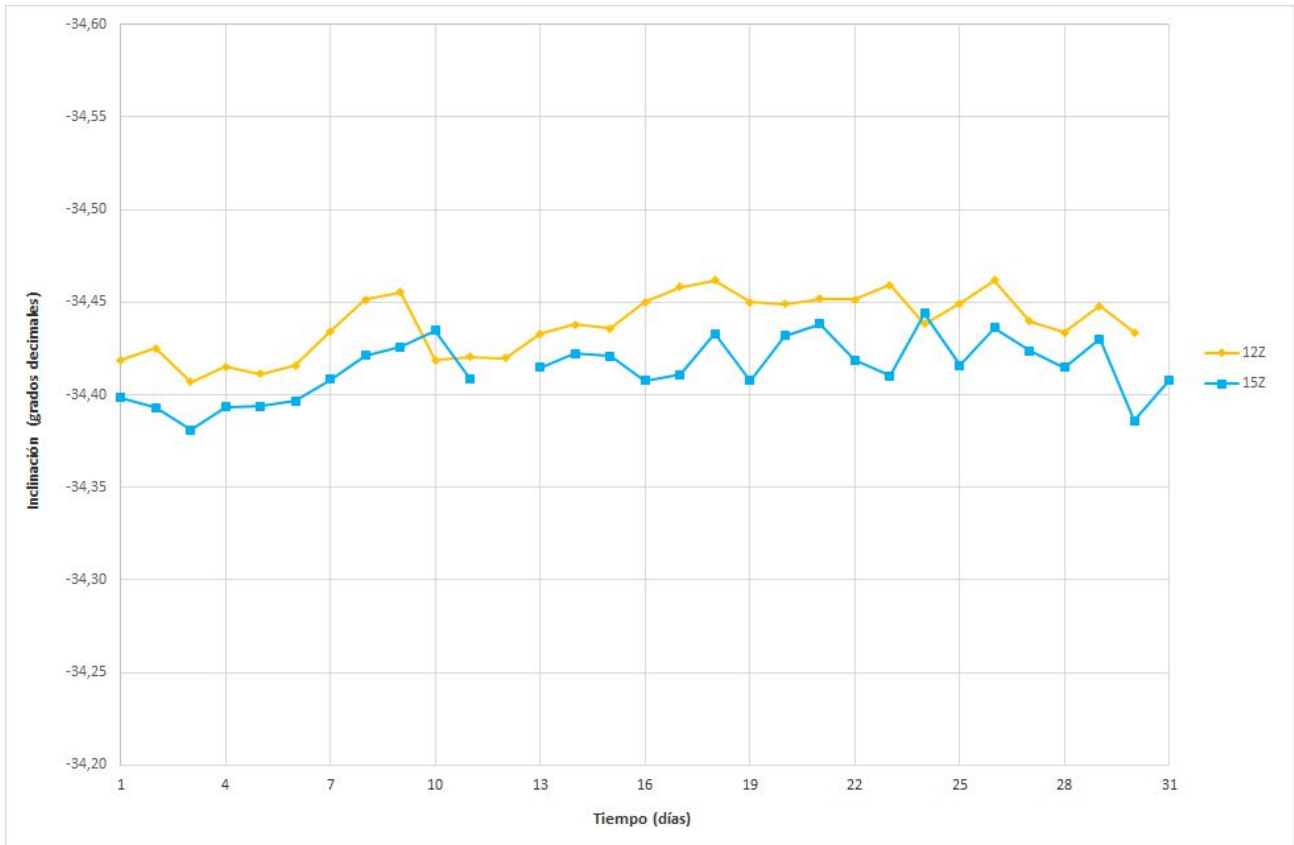


Figura 6: Inclínación magnética en función del tiempo

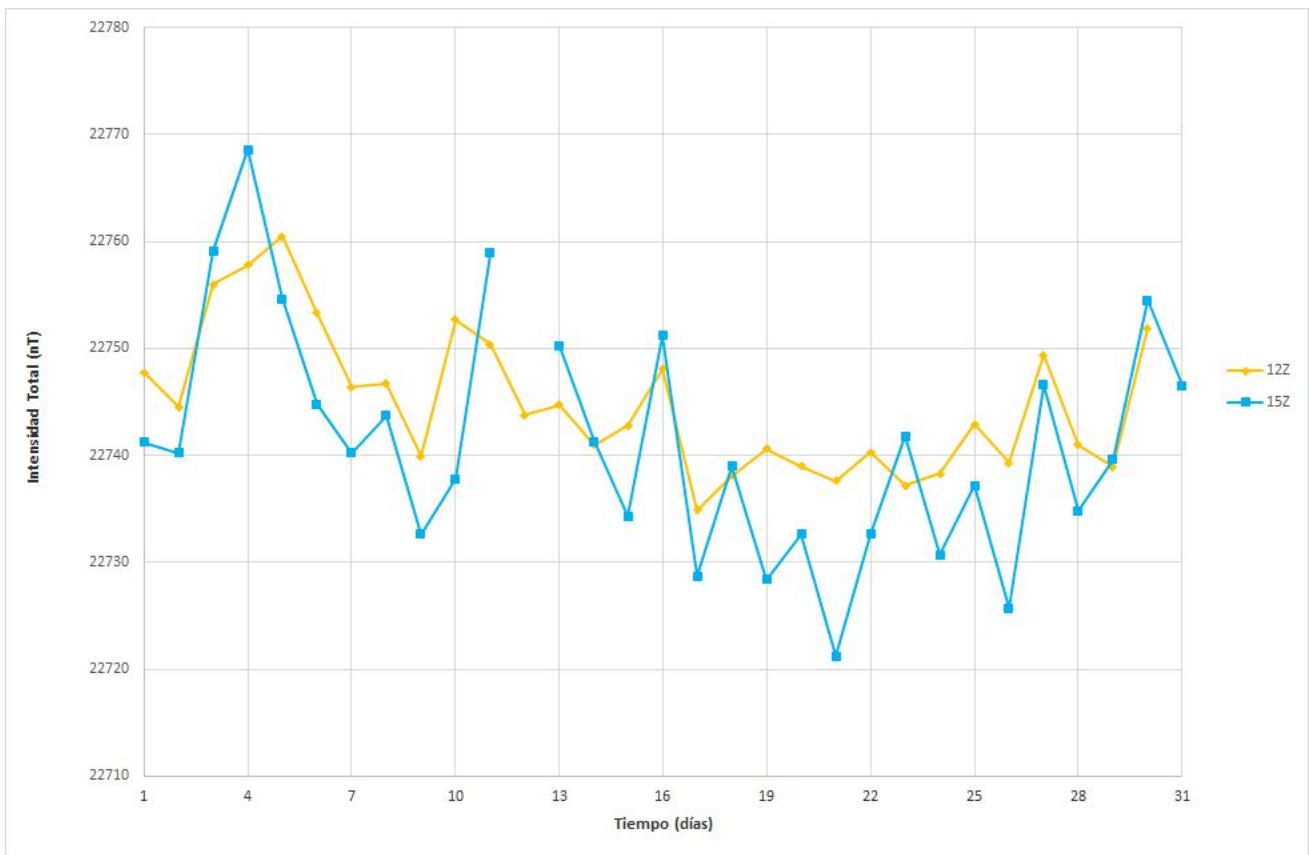


Figura 7: Intensidad total del campo magnético en función del tiempo

## COMENTARIOS FINALES

El registro geomagnético relacionado con la actividad solar durante el mes de Julio demuestra nuevamente la cercanía al mínimo del ciclo solar 24, ya que, en general, las condiciones del campo se mantuvieron tranquilas, pudiendo reconocerse en los magnetogramas algunos eventos aislados que se correlacionan con eventos solares publicados por la NOAA.

Entre los eventos reconocibles se pueden mencionar los de los siguientes periodos: 5-6, 16-17, 24-25; en los cuales todas las componentes se ven perturbadas presentando una amplitud de la intensidad total mayor a 40 nT. Al ver los valores de las componentes absolutas, también podemos reconocer estos momentos de perturbación del campo, ya que los datos se alejan de la media mensual.

Asimismo, pueden verse otros días como 10-12, 19-21, 28-29, donde la variación diurna se mantiene en valores regulares pero con pequeñas variaciones que hacen del registro un aspecto serruchado, lo cual indica que el campo no se encuentra en condiciones completamente calmas, ya que seguramente la ionosfera se encuentra cargada de partículas eléctricas sobre todo en latitudes altas cercanas a los polos geomagnéticos.

Los eventos mencionados se pueden relacionar directamente con la actividad solar descrita por la NOAA. El primer evento del día 5 clasificado como una tormenta menor G1, se relaciona con el cambio de polaridad del campo magnético interplanetario (SSBC: Solar Sector Boundary Crossing), donde el viento y el campo presentaron un aumento en sus valores. En cuanto al caso de los días 10-12, donde el campo se vio levemente perturbado, este evento está relacionado con la llegada de una CME que no estaba dirigida directamente hacia la tierra. El resto de los días destacados, coinciden con escapes de viento solar provenientes de algún agujero coronal o con el aumento de partículas iónicas en la magnetosfera.

Las condiciones del viento solar (velocidad, densidad de protones, temperatura) durante el mes de junio pueden verse en el siguiente link:

<https://www.ngdc.noaa.gov/dscovr/portal/index.html#/vis/summary/1m/1525143600000>

Para mayor información sobre lo abordado, consultar el apartado de conceptos teóricos en:

<http://www.smn.gov.ar/serviciosclimaticos/?mod=vigilancia&id=24>